

Zeitschrift:	Schweizerische Bauzeitung
Herausgeber:	Verlags-AG der akademischen technischen Vereine
Band:	29/30 (1897)
Heft:	20
Artikel:	Die innern Stabkräfte eines belasteten Fachwerkringes, graphisch ermittelt
Autor:	Bohny, F.
DOI:	https://doi.org/10.5169/seals-82472

Nutzungsbedingungen

Die ETH-Bibliothek ist die Anbieterin der digitalisierten Zeitschriften auf E-Periodica. Sie besitzt keine Urheberrechte an den Zeitschriften und ist nicht verantwortlich für deren Inhalte. Die Rechte liegen in der Regel bei den Herausgebern beziehungsweise den externen Rechteinhabern. Das Veröffentlichen von Bildern in Print- und Online-Publikationen sowie auf Social Media-Kanälen oder Webseiten ist nur mit vorheriger Genehmigung der Rechteinhaber erlaubt. [Mehr erfahren](#)

Conditions d'utilisation

L'ETH Library est le fournisseur des revues numérisées. Elle ne détient aucun droit d'auteur sur les revues et n'est pas responsable de leur contenu. En règle générale, les droits sont détenus par les éditeurs ou les détenteurs de droits externes. La reproduction d'images dans des publications imprimées ou en ligne ainsi que sur des canaux de médias sociaux ou des sites web n'est autorisée qu'avec l'accord préalable des détenteurs des droits. [En savoir plus](#)

Terms of use

The ETH Library is the provider of the digitised journals. It does not own any copyrights to the journals and is not responsible for their content. The rights usually lie with the publishers or the external rights holders. Publishing images in print and online publications, as well as on social media channels or websites, is only permitted with the prior consent of the rights holders. [Find out more](#)

Download PDF: 12.02.2026

ETH-Bibliothek Zürich, E-Periodica, <https://www.e-periodica.ch>

INHALT: Die inneren Stabkräfte eines belasteten Fachwerkringes, graphisch ermittelt. — Collège de Boudry près Neuchâtel. — Bemerkungen zu dem Aufsätze von Prof. Fliegner über „Ein neues Momentenplanimeter“, Erwiderung von Prof. Fliegner. — Miscellanea: Die schweizerischen Eisenbahnen im Jahre 1890. Das Hütten-Gehänis vom Gerechten Steinmetzen-Grund. Internationales Komitee für Masse und Gewicht. Sammlung von Photographien englischer Baudenkmäler im Britischen Museum. Bau der Schwurplatzbrücke in Budapest. Die 38. Hauptversammlung des Vereins Deutscher Ingenieure. Die Nutzbarmachung der Wasser-

kräfte des Tessin in Italien. Ein Schifffahrtskanal zwischen dem Japanischen Meer und dem Stillen Ozean. Der internationale Kongress für technischen Unterricht, Gasmotorenbetrieb mit Gichtgasen. Elektr. Strassenbahnen in London. Elektr. Nutzbarmachung der Wasserkraft des Nils. Restaurierung der St. Peterskirche des Montmartre in Paris. Zürichbergbahn. — Konkurrenz: Bahnhofsanlagen in Christiania, Rathaus in Charlottenburg. Tribünenbauten auf der Rennbahn der Trabrenn-Gesellschaft in Moskau. Kornhauskeller in Bern. — Vereinsnachrichten; G. e P. Sektion Zürich: Frühjahrs-Exkursion. Stellenvermittlung. XXVIII. Adressverzeichnis.

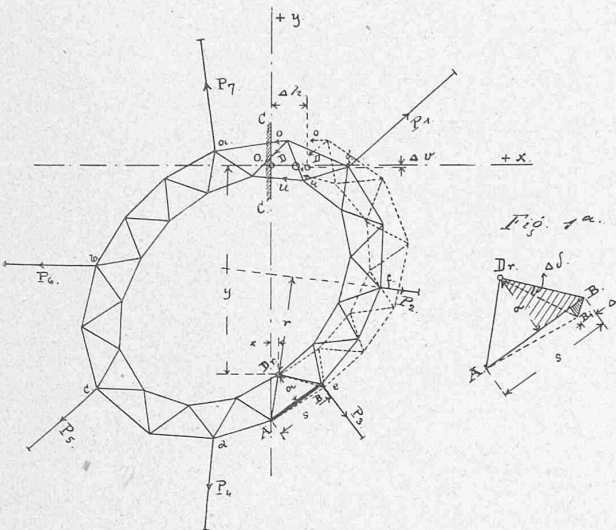
Die inneren Stabkräfte eines belasteten Fachwerkrings, graphisch ermittelt.

Von F. Bohny, Ingenieur.

Wird ein geschlossener Fachwerkring von äussern Kräften, welche sich das Gleichgewicht halten, beansprucht, so lässt sich im allgemeinen der Kräfteplan auf unendlich viele Arten durchkonstruieren, wenn man nur den, in einem durch den Ring gelegten Schnitte, getroffenen drei Stäben beliebige Kräfte zulegt. Es ist aber klar, dass für jeden Belastungsfall den vom Schnitte getroffenen Stäben nur ganz bestimmte Kräfte zukommen, bei deren Ermittlung wir von der Formänderung des ganzen Fachwerkes ausgehen müssen.

Der in Fig. 1 dargestellte Fachwerkring sei von den äussern Kräften P_1, P_2, \dots beansprucht, welche im Gleichgewicht stehen, d. h. ihr Kräftepolygon und ihr Seilpolygon

Fig. 1 und Fig. 1a.



schliessen sich. Wir denken uns nun den Ring an irgend einer Stelle, z. B. $C - C$, durchschnitten. Den linkssitzigen Anschluss an $C - C$ halten wir fest und sehen zu, wie sich der rechtsseitige Anschluss in Folge der äussern Kräfte P_1, P_2, \dots deformiert. Ist diese Deformation erfolgt, so müssen die durch den Schnitt getroffenen Stabkräfte O, D und U , bzw. deren Resultierende R , die Bewegung wieder rückgängig machen und die beiden Schnittenden wieder zur Deckung bringen. Dies ist die Bedingung, aus welcher sich die Ermittlung der richtigen Kräfte O, D und U , bzw. deren Resultierende R , samt der Lage der letzteren, durchführen lässt.

Durch irgend einen Punkt des Schnittes $C - C$ legen wir ein Achsenystem $x - y$, auf welches System wir die Deformation des rechtsseitigen Schnittendes beziehen.

Von den Stäben des Ringes sei nun zunächst bloss ein einziger, z. B. der Stab AB elastisch. Dann wird unter dem Einfluss der Kraft P_2 z. B. der rechts von D_r , dem Drehpunkt von AB , gelegene Teil des Fachwerkes eine kleine Drehung um D_r machen, während der links von D_r befindliche Fachwerkteil in Ruhe bleibt. Die Grösse der Drehung lässt sich ermitteln aus der Deformation des Stabes AB . Die Stabkraft selbst ist $\frac{P_2 \cdot r}{a}$

$$\text{und somit: } \Delta s = \frac{P_2 \cdot r}{a} \cdot \frac{s}{F \cdot E}$$

(a = Hebelarm, s = Stablänge, F = Querschnitt des Stabes, E = Elastizitätsmodul.)

Bezeichnen wir den Drehungswinkel mit $\Delta\delta$, so wird gemäss Fig. 1a, indem man den Weg BB_1 auf AB projiziert und so ähnliche Dreiecke herstellt:

$$BB_1 : \Delta s = D_r B : a$$

Wegen der Kleinheit der Deformation dürfen wir $BB_1 = D_r B \cdot \Delta\delta$ setzen, somit:

$$D_r B \cdot \Delta\delta : \Delta s = D_r B : a$$

$$\text{oder } \Delta\delta = \frac{\Delta s}{a}$$

Hierin noch den obigen Wert von Δs eingesetzt, giebt dies:

$$\underline{\underline{\Delta\delta}} = \frac{P_2 \cdot r \cdot s}{F \cdot E \cdot a^2} \quad \dots \quad (1)$$

Zu demselben Resultat gelangt man, wenn man an Stelle eines äussern Gurtes einen innern setzt, oder einen Diagonalstab.

Die Koordinaten von D_r in bezug auf unser Achsen-system seien y und x . Infolge der Drehung $\Delta\delta$ wird sich also die Verschiebung des Koordinatenanfangs ermitteln zu:

$$\begin{aligned} \Delta b &= y \cdot \Delta\delta \\ \Delta v &= x \cdot \Delta\delta \end{aligned}$$

$$\text{oder } \underline{\underline{\Delta b}} = P_2 \cdot r \cdot y \cdot \frac{s}{F \cdot E \cdot a^2} \quad \dots \quad (2)$$

$$\underline{\underline{\Delta v}} = P_2 \cdot r \cdot x \cdot \frac{s}{F \cdot E \cdot a^2} \quad \dots \quad (3)$$

Jetzt ist es leicht, auf die Formänderung der ganzen Konstruktion überzugehen, indem man die eben gemachte Untersuchung auf sämtliche von P_2 beeinflusste Ringstäbe ausdehnt. Es ist dies der vom fest gehaltenen Ringende an bis zur Kraft P_2 sich erstreckende Fachwerkteil (in Fig. 2 schraffiert.) Die Einzelverschiebungen und Einzeldrehungen infolge Deformation dieser Partie addieren sich einfach, und es wird:

$$\left. \begin{aligned} \underline{\underline{\delta}} &= \sum_o \Delta\delta = P_2 \sum_o r \cdot \frac{s}{F \cdot E \cdot a^2} \\ \underline{\underline{b}} &= \sum_o \Delta b = P_2 \sum_o r \cdot y \cdot \frac{s}{F \cdot E \cdot a^2} \\ \underline{\underline{v}} &= \sum_o \Delta v = P_2 \sum_o r \cdot x \cdot \frac{s}{F \cdot E \cdot a^2} \end{aligned} \right\} \quad \dots \quad (4)$$

Wir nennen den Ausdruck $\frac{s}{F \cdot E \cdot a^2}$ eines Stabes sein *elastisches Gewicht* und bezeichnen ihn mit Δg , ferner $\sum_o \Delta g = G_2$. Denkt man sich diese elastischen Gewichte Δg in den Drehpunkten der einzelnen Stäbe wirkend, so bedeutet:

$$\sum_o r \cdot \frac{s}{F \cdot E \cdot a^2} = \sum_o r \cdot \Delta g$$

das *statische Moment* aller Δg von $o-f$ bezüglich der Richtung der äusseren Kraft P_2 ,

$$\text{ferner: } \sum_o r \cdot y \cdot \frac{s}{F \cdot E \cdot a^2} = \sum_o r \cdot y \cdot \Delta g$$

das *Centrifugalmoment* aller Δg von $o-f$ bezüglich der Richtung der äusseren Kraft und bezüglich der x -Achse,

$$\text{und drittens: } \sum_o r \cdot x \cdot \frac{s}{F \cdot E \cdot a^2} = \sum_o r \cdot x \cdot \Delta g$$

das *Centrifugalmoment* aller Δg von $o-f$ bezüglich der Krafrichtung und der y -Achse.

Das statische Moment und die Centrifugalmomente der Gewichte der Ringpartie $o-f$ bezüglich beliebiger Achsen lassen sich sehr einfach darstellen, indem man mit Hülfe der Δg , in den einzelnen Drehpunkten wirkend, eine

Centralellipse zeichnet (Fig. 2), analog wie man für jede geschlossene ebene Figur eine Centralellipse zeichnen kann. Diese Ellipse lässt sich sowohl analytisch leicht berechnen, als auch graphisch mittelst fünf Seilpolygonen konstruieren. Für die Ringpartie $o-f$ sei dieselbe gegeben samt ihrem Mittelpunkt S_2 . Dann ist sofort:

$$\Sigma^f r \Delta g = G_2 \cdot r_2.$$

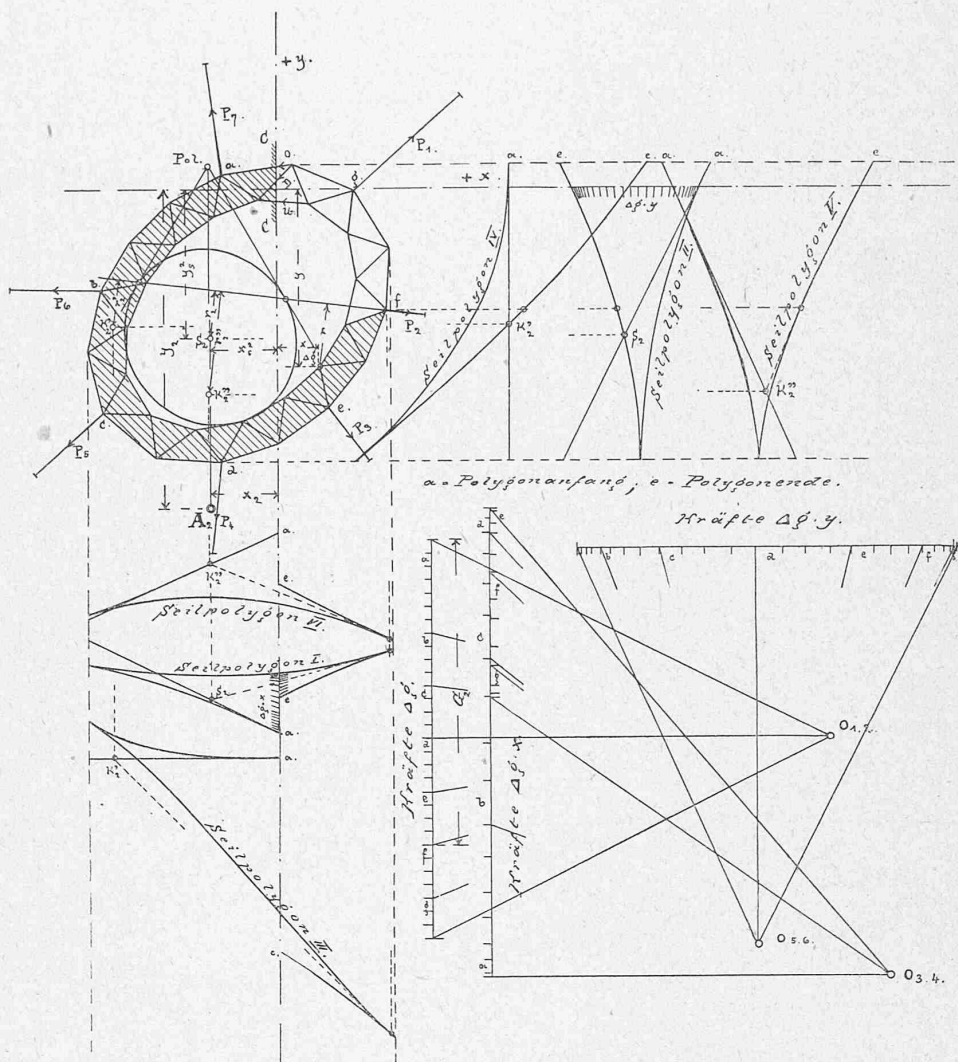
Ferner wenden wir den bekannten Culmann'schen Satz an: (vergl. Culman, Graphische Statik, II. Auflage, p. 404.)

Das Centrifugalmoment irgend einer ebenen Figur bezüglich zweier beliebiger Achsen ist gleich dem Flächeninhalt der Figur

Ringpartie $o-f$ mit der äussern Kraft P_2 die einzelnen fraglichen Strecken und Punkte ermittelt sind.

Nachdem die elastischen Gewichte Δg für den ganzen Ring berechnet (es genügt in den meisten praktischen Fällen, dieselben bloss für die Gurten zu bilden und die Diagonalen zu vernachlässigen), trägt man dieselben in irgend einem Maßstab in einem Kräftepolygon auf und konstruiert mit irgend einem beliebigen Pole $O_{1,2}$ die Seilpolygone I. und II. Im ersten wirken die Kräfte Δg vertikal, im zweiten horizontal; es stehen also die Seilpolygonseiten von II. normal zu den Strahlen aus $O_{1,2}$. Der Schwerpunkt der Ringpartie $o-f$ findet sich, indem

Fig. 2.



mal der Entfernung des Schwerpunktes von der einen Achse, mal der Entfernung des Antipoles dieser Achse von der zweiten.

In unserem Falle ist der Flächeninhalt der Figur identisch mit $\Sigma^f \Delta g = G_2$, somit, wenn A_2 der Antipol bezüglich der Kraftrichtung P_2 , ist:

$$\Sigma^f \Delta g \cdot r \cdot y = G_2 \cdot r_2 \cdot y_2$$

und

$$\Sigma^f \Delta g \cdot r \cdot x = G_2 \cdot r_2 \cdot x_2.$$

So einfach nun diese Thatsache ist, so umständlich ist es doch, besonders bei vielen Kräften, für die verschiedenen Ringpartien $o-a$, $o-b$, ..., $o-g$, und schliesslich für den ganzen Ring die einzelnen Centralellipsen zu konstruieren. Wir müssen daher suchen, die Antipolpunkte A_1 , A_2 , ..., bzw. deren Koordinaten x_1 , y_1 , x_2 , y_2 , ..., auf anderem Wege zu ermitteln.

Dies ist in Fig. 2 geschehen, wobei speziell für die

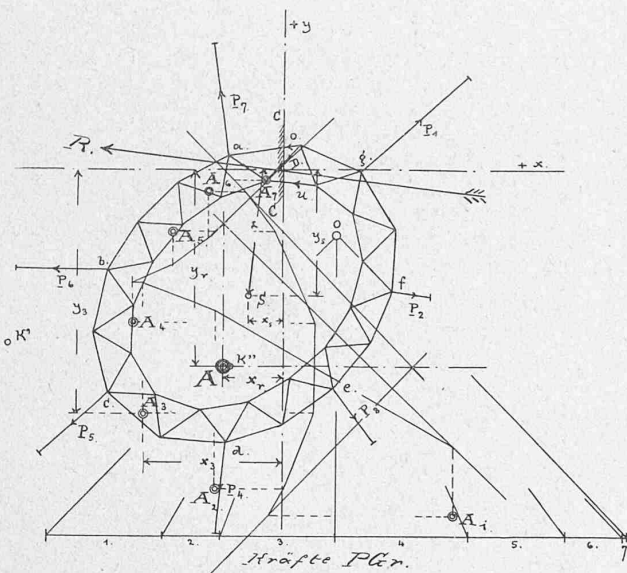
man in beiden Polygone die erste Tangente und diejenige in f zum Schnitte bringt und diese Schnitte in die Ringfigur überträgt. Mit S_2 ist auch die Grösse r_2 gefunden und:

$$\underline{\delta} = \underline{P_2} \underline{G_2} \underline{r_2}. \quad \dots \quad (5)$$

Zur Ermittlung der Centrifugalmomente bedürfen wir der Ausdrücke $\Sigma^f \Delta g \cdot r \cdot y$ und $\Sigma^f \Delta g \cdot r \cdot x$. Die Grössen $y \cdot \Delta g$ und $x \cdot \Delta g$ kommen dabei bei jeder äussern Kraft und jeder Ringpartie wieder vor, wir können dieselben also sofort von vornherein berechnen. In Fig. 2 sind dieselben auch graphisch konstruiert als Abschnitte der Seilpolygon-Seiten von Polygon I und II auf den Koordinatenachsen. Jedoch bilden sich auf diese Weise die Gewichtsmomente bezüglich der Achsen nur sehr klein und daher ungenau, so dass es sich empfiehlt, diese einfachen Produkte rechnerisch durchzuführen und dann separat in grösserem Maßstab aufzutragen, wie es Fig. 2 rechts unten

zeigt. Dem wechselnden Vorzeichen von x und y entsprechend werden die $x \cdot Ag$ und $y \cdot Ag$ zum Teil positiv, zum Teil negativ, was beim Auftragen zu beachten ist. Wir betrachten diese Produkte als weitere Kräfte und lassen sie wieder in den Drehpunkten der einzelnen Stäbe wirken und zwar auch wieder vertikal und horizontal. Die zur Konstruktion der dadurch entstehenden Seilpolygone nötigen Pole sind $O_{3,4}$ und $O_{5,6}$ und sind in beliebiger Poldistanz von der Kräftelinie gewählt.

Fig. 3.



Mit Hülfe von Seilpolygon III und IV ist es jetzt möglich, den Schwerpunkt der Produkte $\Delta g \cdot x$ für eine beliebige Ringpartie zu finden. Für die Ringpartie $o-f$ sei derselbe in K_2' gefunden, als Schnitt der Tangenten am Ende und in Punkt f der zwei genannten Seilpolygone.

In analoger Weise lässt sich für die Ringpartie $o-f$ der Schwerpunkt aller $\mathcal{A}g.y$ finden, er sei K_2 und seine Distanz von der Kraftrichtung r_o . Dann ist:

$$\Sigma_o^f \Delta g y r = r_2 \cdots \Sigma_o^f \Delta gy \\ = G_2 r_2 \cdots y_o^2,$$

und durch Gleichsetzung mit obigem Werte:

$$G_2 r_2 \cdot y_2 = G_2 r_2'' y_s^2. \quad (7)$$

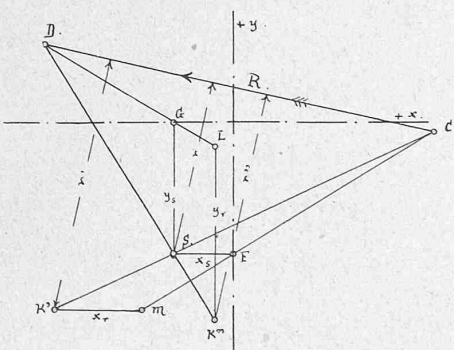
Damit ist auch die Ordinate von A_2 gefunden.

Man sieht, dass, wenn die sechs Seilpolygone für den ganzen Ring gezeichnet sind, es einfach der Verlängerung von Seiten derselben bedarf, um auf einfachste Weise für jede Ringpartie die Punkte S , K' und K'' zu ermitteln. Sind dieselben gefunden, so sind deren Abstände von der Kraftrichtung und von den Koordinatenachsen die Werte r , r' , r'' und x_s und y_s . Nach Gleichung (6) und (7) lassen sich dann die Koordinaten x und y der Antipole bestimmen. Obacht ist dabei nur noch zu geben, in welchem Quadranten A liegt. Hiebei gilt zunächst, dass Antipol und Kraftrichtung immer auf entgegengesetzten Seiten von S liegen. Da weiter x_s und y_s dem Vorzeichen nach bekannt sind, ist es nur noch fraglich bezüglich des Vorzeichens von r , r' und r'' . Hiebei gilt jeweilen die Kraftrichtung als Achse; sind r und r' , oder r und r'' , auf derselben Seite der Kraftrichtung, so sind sie mit demselben Zeichen einzuführen; liegen sie entgegengesetzt, so haben sie verschiedenes Vorzeichen. Dass sich die Ordinaten der Antipole gemäss den Gleichungen (6) und (7) aus den einzelnen Strecken r , r' . . . auch graphisch, durch Konstruktion ähnlicher Dreiecke, ermitteln lassen, braucht wohl nur erwähnt zu werden.

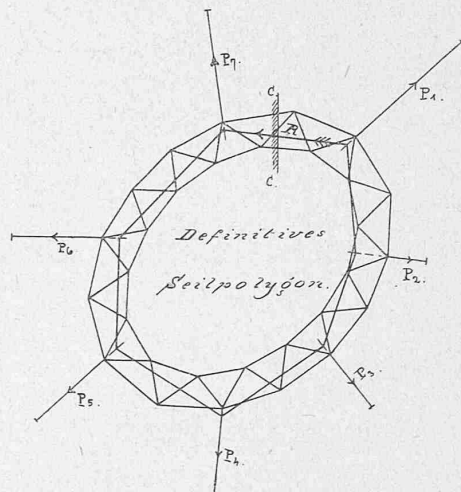
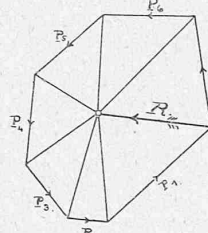
In Fig. 3 seien nun auf die eben beschriebene Weise die Antipole für die verschiedenen Ringpartien gefunden, und zwar:

A_1 zu P_1 für die Ringpartie $o - g$: x_1, y_1, r_1, G_1 .
 A_2 zu P_2 für die Ringpartie $o - f$: x_2, y_2, r_2, G_2 .
 A_3 zu P_3 für die Ringpartie $o - c$: x_3, y_3, r_3, G_3 u. s. w.

Fig. 4.



Kräfte gegen Lyon.



Dann ist:

$$\Sigma_o^f \mathcal{A} g x . r = r_2 , \Sigma_o^f \mathcal{A} g x .$$

$\Sigma_o^f \Delta g x$ ist aber gleich $G_2 x_s^2$, somit:

$$\Sigma_o^f \Delta g x r = G_2 r_2' \cdot x_s^2,$$

und durch Vergleich mit obigem Ausdrucke von $\Sigma^f \Delta g_{rx}$ erhält man:

$$G_2 r_2 x_2 = G_2 r_2 \cdot x_s^2. \\ x_2 = \frac{x_2 \cdot x_s^2}{G_2}, \quad \quad (6)$$

wodurch die Abscisse von A_2 gefunden ist.

Der Schwerpunkt aller $\mathcal{A}g$ sei S , die Summe aller $\mathcal{A}g = G$. Ferner sei R die Resultierende der durchschnittenen Stäbe, r deren Entfernung von S , y_r und x_r die Ordinaten des Antipodes A von R bezüglich der Centralellipse des ganzen Ringes.

Die Bewegungen, welche das freie Ringende infolge der Kräfte $P_1, P_2 \dots$ ausführt, sind:

$$\left. \begin{array}{l} \Sigma \delta = \Sigma P G r \\ \Sigma b = \Sigma P G r y \\ \Sigma v = \Sigma P G r x \end{array} \right\} \quad \quad (8)$$

Dieselben Bewegungen, nur in entgegengesetztem Sinne, muss die Kraft R durch Einwirkung auf den ganzen Ring hervorbringen, wenn die durchschnittenen Ringenden wieder zum Kontakt kommen sollen. R beeinflusst den ganzen Ring, somit:

$$\begin{aligned} \Sigma \delta &= R \cdot r \cdot G \\ \Sigma b &= R \cdot r \cdot G \cdot y_r \\ \Sigma v &= R \cdot r \cdot G \cdot x_r \end{aligned} \quad \dots \quad (9)$$

oder:

$$\begin{aligned} R \cdot r \cdot G &= \Sigma P G r \\ R \cdot r \cdot G \cdot y_r &= \Sigma P G r y \\ R \cdot r \cdot G \cdot x_r &= \Sigma P G r x \end{aligned} \quad \dots \quad (10)$$

woraus sich die Koordinaten y_r und x_r von A ergeben zu:

$$y_r = \frac{\Sigma P G r y}{\Sigma P G r} \quad \dots \quad (11)$$

$$x_r = \frac{\Sigma P G r x}{\Sigma P G r} \quad \dots \quad (12)$$

Die rechtsseitigen Ausdrücke für y_r und x_r lehren uns, auf welch einfache Weise sich A graphisch finden lässt. A ist nichts anderes als der *Schwerpunkt aller PGr*. Um A graphisch zu ermitteln, lässt man in jedem der einzelnen Antipoden die zugehörige Größe PGr horizontal und vertikal wirken und zeichnet zwei Seilpolygonen. Der Schnitt der ersten und letzten Seilpolygonseiten ergibt, in die Figur übertragen, den Punkt A (Fig. 3).

Haben dabei die Ausdrücke PGr verschieden Drehungssinn, so ist dies beim Auftragen im Kräftepolygon zu berücksichtigen.

Die Lage der Antipoden zu A , die Krafrichtung R , findet sich auf folgende Weise. Analog wie für die einzelnen Ringpartien konstruieren wir die Punkte K' und K'' für den ganzen Ring, also die Schwerpunkte aller $\Delta g \cdot x$ und $\Delta g \cdot y$. Die zunächst unbekannten Abstände von K' und K'' von R seien r' und r'' , dann ist nach Gleichung (6) und (7):

$$x_r = \frac{r' \cdot x_s}{r}$$

$$y_r = \frac{r'' \cdot y_s}{r}$$

$$\text{bezw.: } \frac{r'}{r} = \frac{x_r}{x_s}; \quad \frac{r''}{r} = \frac{y_r}{y_s}$$

Von allen Größen sind uns x_r und y_r , x_s und y_s bekannt, ferner sind die Punkte K' und K'' in der Zeichnung durch ihre Lage fest gelegt. Dies genügt, die Größen r' , r'' und r graphisch zu bilden (Fig. 4). Man trage x_r horizontal von K' aus auf und ziehe die Geraden $K'S$ und MF , ihr Schnitt sei C . Ferner trage man y_r vertikal über K'' auf und ziehe die Geraden $K''S$ und LG , ihr Schnitt sei D . Dann ist CD die gesuchte Lage von R . Der Beweis dieser Konstruktion ist einfach, denn es ist:

$$\frac{r'}{r} = \frac{K'C}{SC} = \frac{x_r}{x_s}$$

$$\frac{r''}{r} = \frac{K''D}{SD} = \frac{y_r}{y_s},$$

also die obigen Ausdrücke.

Nachdem die Lage der Kraft R gefunden, finden wir noch ihre Größe aus Gleichung (10) zu:

$$R = \frac{\Sigma P G r}{G \cdot r} \quad \dots \quad (13)$$

wobei beim Ausdruck im Zähler wieder der Drehungssinn Berücksichtigung zu finden hat.

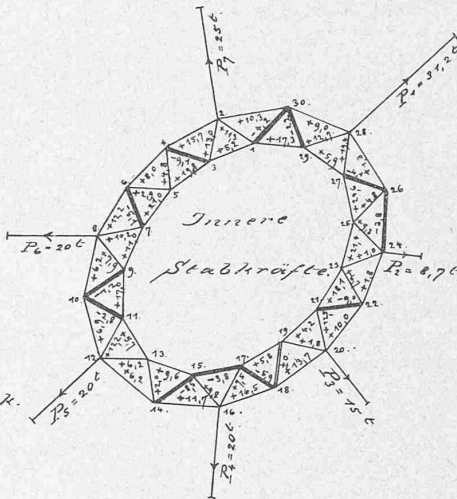
Mit der Ermittlung von R nach Grösse und Lage ist die vorliegende Aufgabe gelöst. Zerlegt man R noch nach der Richtung der drei durchschnittenen Stäbe O , D und U , so ist es jetzt möglich, den richtigen Cremonaplan für den ganzen Ring durchzuführen.

Speziell für das in den Figuren 1—3 dargestellte Beispiel, bei welchem der Einfachheit halber alle Δg gleich gross angenommen wurden, erhält R die in Fig. 5 dargestellte Lage und Grösse. Ist R gefunden, so lässt sich im Ring sofort das *definitive Seilpolygon* zeichnen. Der Cremonaplan erhält die in Fig. 6 dargestellte Gestalt. Für die eingeschriebenen Größen der äussern Kräfte sind die entsprechenden inneren Stabkräfte in die Figur eingetragen. Zur bessern Uebersicht sind die Druckstäbe stark, die Zugstäbe schwach ausgezogen. Dass scharfes und exaktes Zeichnen bei den verschiedenen besprochenen Konstruktionen durchwegs am Platze ist, braucht wohl nicht besonders betont werden.

Das Anwendungsgebiet der vorliegenden Aufgabe dürfte ein ziemlich grosses sein. Zunächst schliesst die Behandlung des durchschnittenen Ringes die Lösung der

Berechnung des dreifach statisch unbestimmten Bogens mit Flächenauflager vollständig in sich. Ferner tritt die Frage nach den innern Stabspannungen eines Fachwerkringes namentlich bei Brückenquerrahmen, Brückenportalen etc. auf. Auch bei den Absteifungsringen von Tunnelvortrieben, den horizontalen Absteifungsringen höher, runder Caissons kann die vorliegende Aufgabe vorkommen, ebenso zeigen oft hohe Türme Fachwerkringe als Ab-

Fig. 6.



steifung in den einzelnen Stockwerken.

Besteht der Ring nicht aus Fachwerk, sondern bloss aus einzelnen Stäben oder Blechbalken, die in den Ecken starr vernietet sind, so ändert sich das Verfahren wesentlich. Prof. W. Ritter in Zürich hat für diesen Fall eines *belasteten Stabringes* das graphische Verfahren mit Hülfe von Elasticitätsellipsen entwickelt (vergl. „Schweizerische Bauzeitung“ 1891, Bd. XVII p. 13). Wir möchten nicht schliessen, ohne auf die elegante Lösung dieser Aufgabe hingewiesen zu haben.

Collège de Boudry près Neuchâtel.

Monsieur le Rédacteur,

Vous avez publié au cours de ces dernières années plusieurs plans de bâtiments scolaires érigés dans diverses contrées de la Suisse allemande et il vous a paru intéressant de continuer la série en présentant à vos lecteurs un type pris en Suisse romande.

Dans le canton de Neuchâtel le choix en serait grand, le nombre des collèges construits depuis peu de temps est considérable.

Celui de Boudry, petite ville près de Neuchâtel, est le plus récent; destiné à l'enseignement primaire pour filles et garçons, il renferme onze salles dont deux pour travaux manuels, ces dernières dans les combles des ailes, éclairées d'en